



Compiler für Eingebettete Systeme

[CS7506]

Sommersemester 2014

Heiko Falk

Institut für Eingebettete Systeme/Echtzeitsysteme
Ingenieurwissenschaften und Informatik
Universität Ulm



Kapitel 6

Instruktionsauswahl

Inhalte der Vorlesung

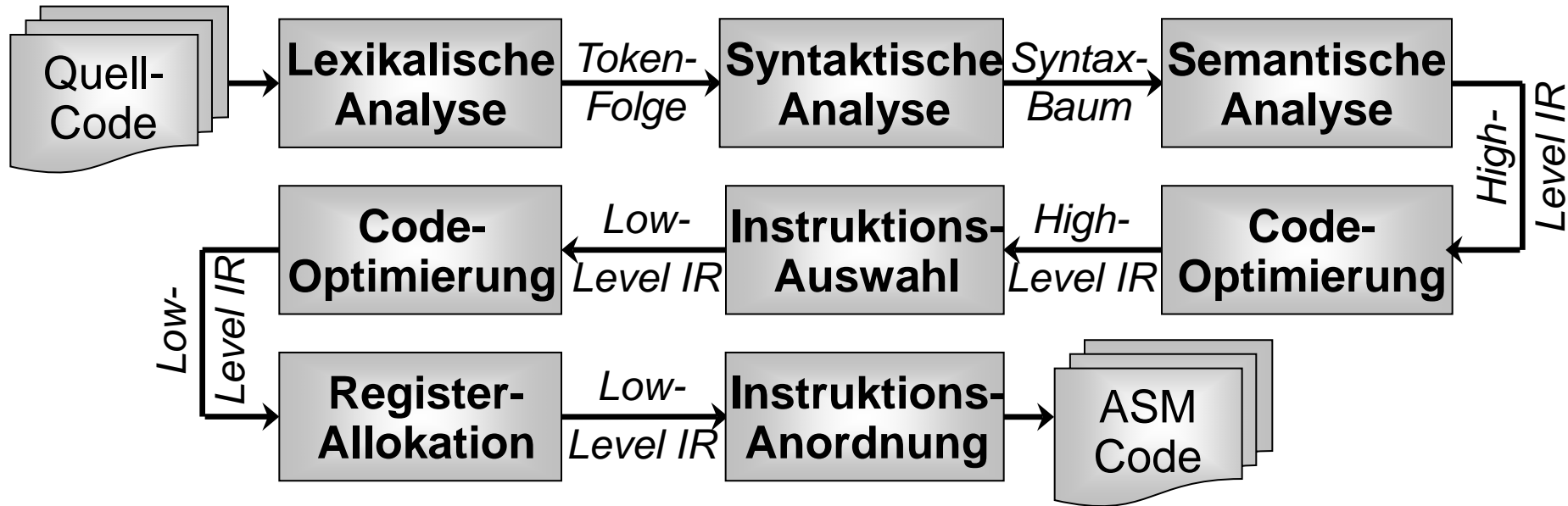
1. Einordnung & Motivation der Vorlesung
2. Compiler für Eingebettete Systeme – Anforderungen & Abhängigkeiten
3. Interner Aufbau von Compilern
4. Prepass-Optimierungen
5. HIR Optimierungen und Transformationen
- 6. Instruktionsauswahl**
7. LIR Optimierungen und Transformationen
8. Register-Allokation
9. Compiler zur WCET_{EST}-Minimierung
10. Ausblick

Inhalte des Kapitels

6. Instruktionsauswahl

- Einführung
- Rolle der Instruktionsauswahl
- Datenflussgraphen
- Code-Generator-Generatoren
- Baum-Überdeckung mit Dynamischer Programmierung
 - Zerlegung von Datenflussgraphen in Datenflussbäume
 - Baum-Überdeckung
 - *Tree Pattern Matching* Algorithmus
 - Baum-Grammatiken zur regel-basierten Ableitung von Code
- Diskussion

Rolle der Instruktionauswahl



Instruktionauswahl

- Auswahl von Maschinenbefehlen zur Implementierung der IR
- „Herz“ des Compilers, das eigentliche Übersetzung von Quell- in Zielsprache vornimmt

Funktion und Ziele

Synonyme

- *Instruktionsauswahl*, *Code-Selektion* und *Code-Generierung* werden oft gleichbedeutend verwendet.

Ein- & Ausgabe der Instruktionsauswahl

- Eingabe: Eine zu übersetzende Zwischendarstellung IR
- Ausgabe: Ein Programm $P(IR)$
(meist in Assembler- oder Maschinencode, oft auch eine andere IR)

Randbedingungen der Instruktionsauswahl

- $P(IR)$ muss semantisch äquivalent zu IR sein
- $P(IR)$ muss effizient hinsichtlich einer Zielfunktion sein

Datenflussgraphen

Was genau ist „semantische Äquivalenz zu IR“...?

- $P(IR)$ muss zu IR äquivalenten Datenfluss haben, unter Berücksichtigung der durch den Kontrollfluss festgelegten Abhängigkeiten.

Definition (Datenflussgraph):

Sei $B = (I_1, \dots, I_n)$ ein Basisblock ( Kapitel 3). Der *Datenflussgraph* (DFG) zu B ist ein gerichteter azyklischer Graph $DFG = (V, E)$ mit

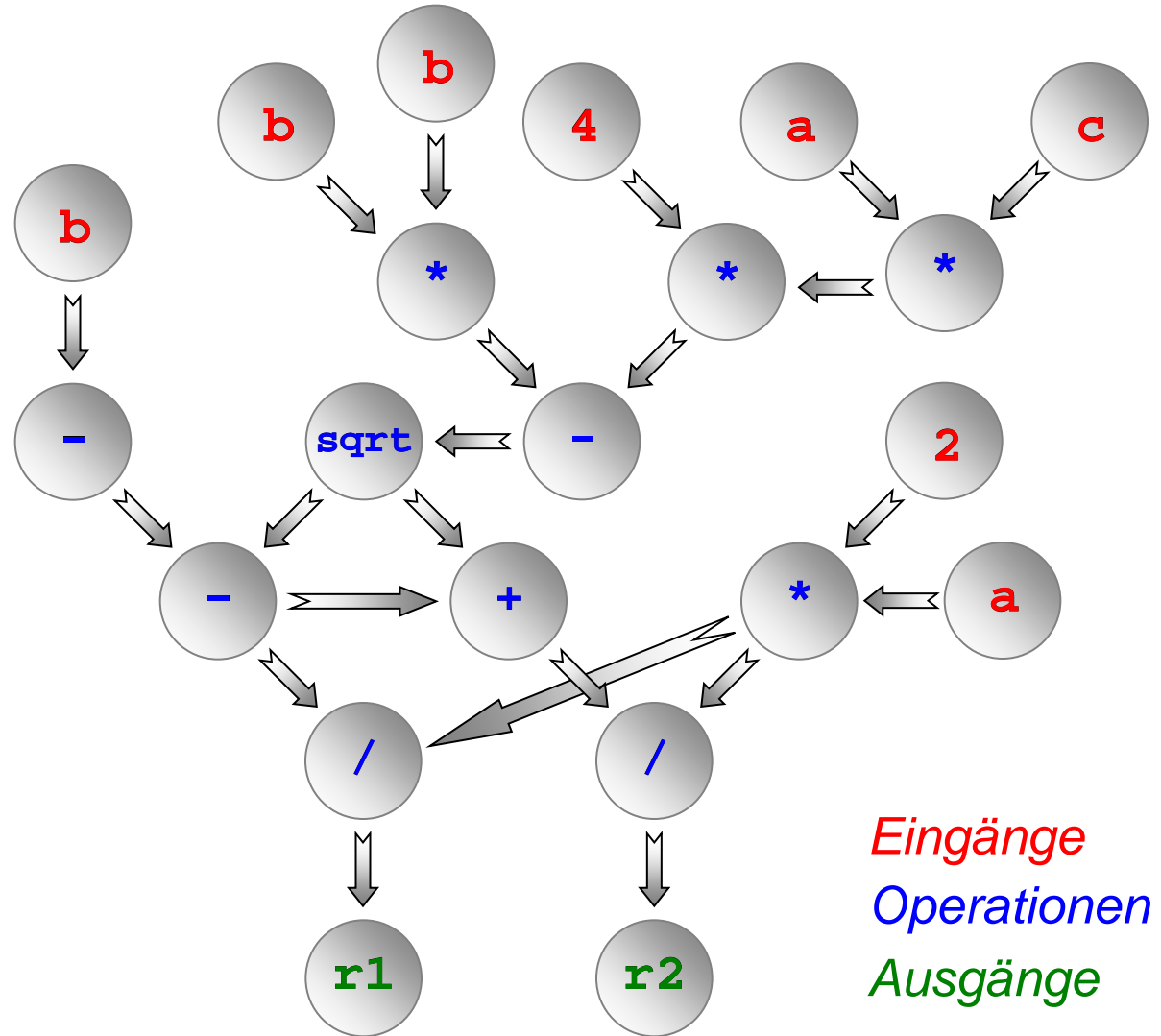
- Knoten $v \in V$ repräsentiert entweder
 - einen Eingangswert in B (Eingangsvariable, Konstante)
 - oder eine einzelne Operation innerhalb von I_1, \dots, I_n
 - oder einen Ausgangswert von B
- Kante $e = (v_i, v_j) \in E \Leftrightarrow v_j$ benutzt von v_i berechnete Daten

Beispiel-DFG

```

t1 = a * c;
t2 = 4 * t1;
t3 = b * b;
t4 = t3 - t2;
t5 = sqrt( t4 );
t6 = -b;
t7 = t6 - t5;
t8 = t7 + t5;
t9 = 2 * a;
r1 = t7 / t9;
r2 = t8 / t9;

```



Instruktionsauswahl

Ziel und Aufgabe

- Überdecken der Knoten aller DFGs von *IR* mit semantisch äquivalenten Operationen der Zielsprache

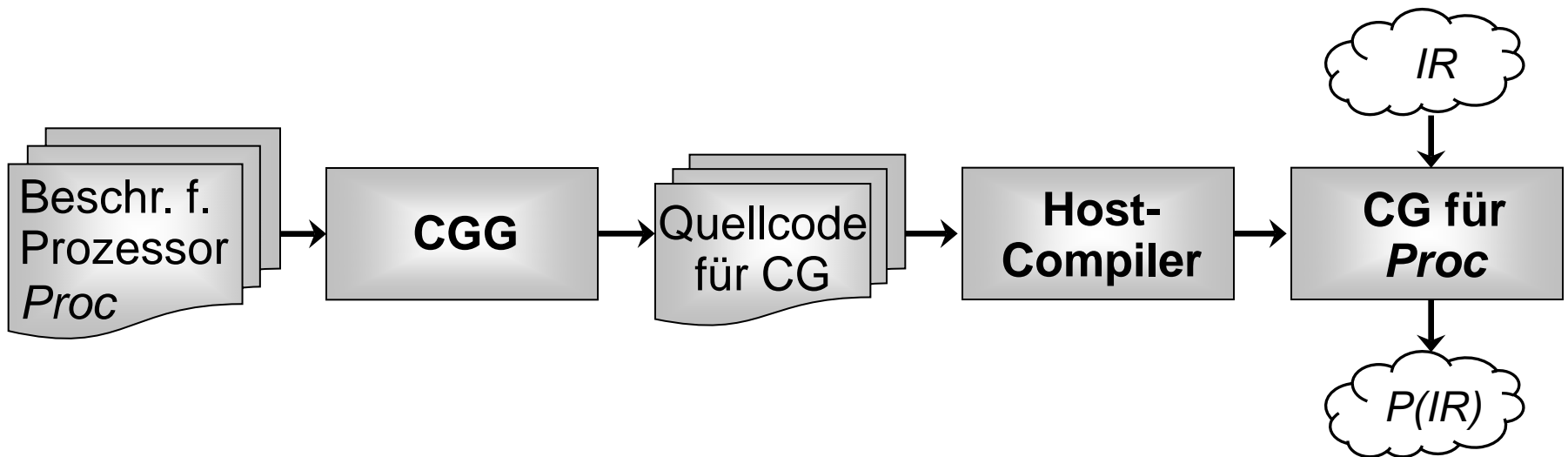
Implementierung eines Code-Generators

- Nicht-triviale, stark vom Ziel-Prozessor abhängige Aufgabe
- Per-Hand-Implementierung eines Code-Generators bei Komplexität heutiger Prozessoren nicht mehr vertretbar
- ☞ Statt dessen: Verwendung sog. *Code-Generator-Generatoren*

Code-Generator-Generatoren

Ablauf

- Sog. *Meta-Programme*, d.h. Programme, die Programme als Ausgabe erzeugen.
- Ein Code-Generator-Generator (CGG) erhält eine Prozessor-Beschreibung als Eingabe und erzeugt daraus einen Code-Generator (CG) für eben diesen Prozessor



Inhalte des Kapitels

6. Instruktionsauswahl

- Einführung
 - Rolle der Instruktionsauswahl
 - Datenflussgraphen
 - Code-Generator-Generatoren
- Baum-Überdeckung mit Dynamischer Programmierung
 - Zerlegung von Datenflussgraphen in Datenflussbäume
 - Baum-Überdeckung
 - *Tree Pattern Matching* Algorithmus
 - Baum-Grammatiken zur regel-basierten Ableitung von Code
- Diskussion

Tree Pattern Matching (TPM)

Motivation

- Überdeckung von Datenflussgraphen polynomiell reduzierbar auf 3-SAT

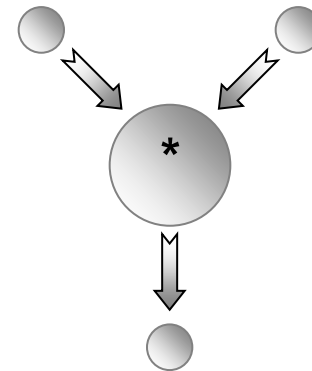
[J. Bruno, R. Sethi, Code generation for a one-register machine, Journal of the ACM 23(3), Jul 1976]

- ☞ Optimale Instruktionsauswahl ist NP-vollständig

- **Aber:** Maschinenoperationen üblicher Prozessoren haben typischerweise baumförmigen Datenfluss

- ☞ **Baum-basierte Instruktionsauswahl**

- Optimale baum-basierte Instruktionsauswahl effizient in polynomieller Laufzeit lösbar



Ablauf des *Tree Pattern Matching*

Gegeben

- Eine zu übersetzende Zwischendarstellung IR

Vorgehensweise

- Programm $P = \emptyset$;
- Für jeden Basisblock B aus IR :
 - Bestimmte Datenflussgraph D von B
 - Zerlege D in einzelne Datenflussbäume (*data flow tree, DFT*)
 T_1, \dots, T_N
 - Für jeden DFT T_i :
 - $P = P \cup \{ \text{Optimaler Code aus Baum-Überdeckung von } T_i \}$
- Gebe P zurück

Zerlegung eines DFGs in DFTs

Definition (Gemeinsamer Teilausdruck):

Sei $DFG = (V, E)$ ein Datenflussgraph.

Ein Knoten $v \in V$ mit mehr als einer ausgehenden Kante im DFG heißt *Gemeinsamer Teilausdruck (Common Subexpression, CSE)*.

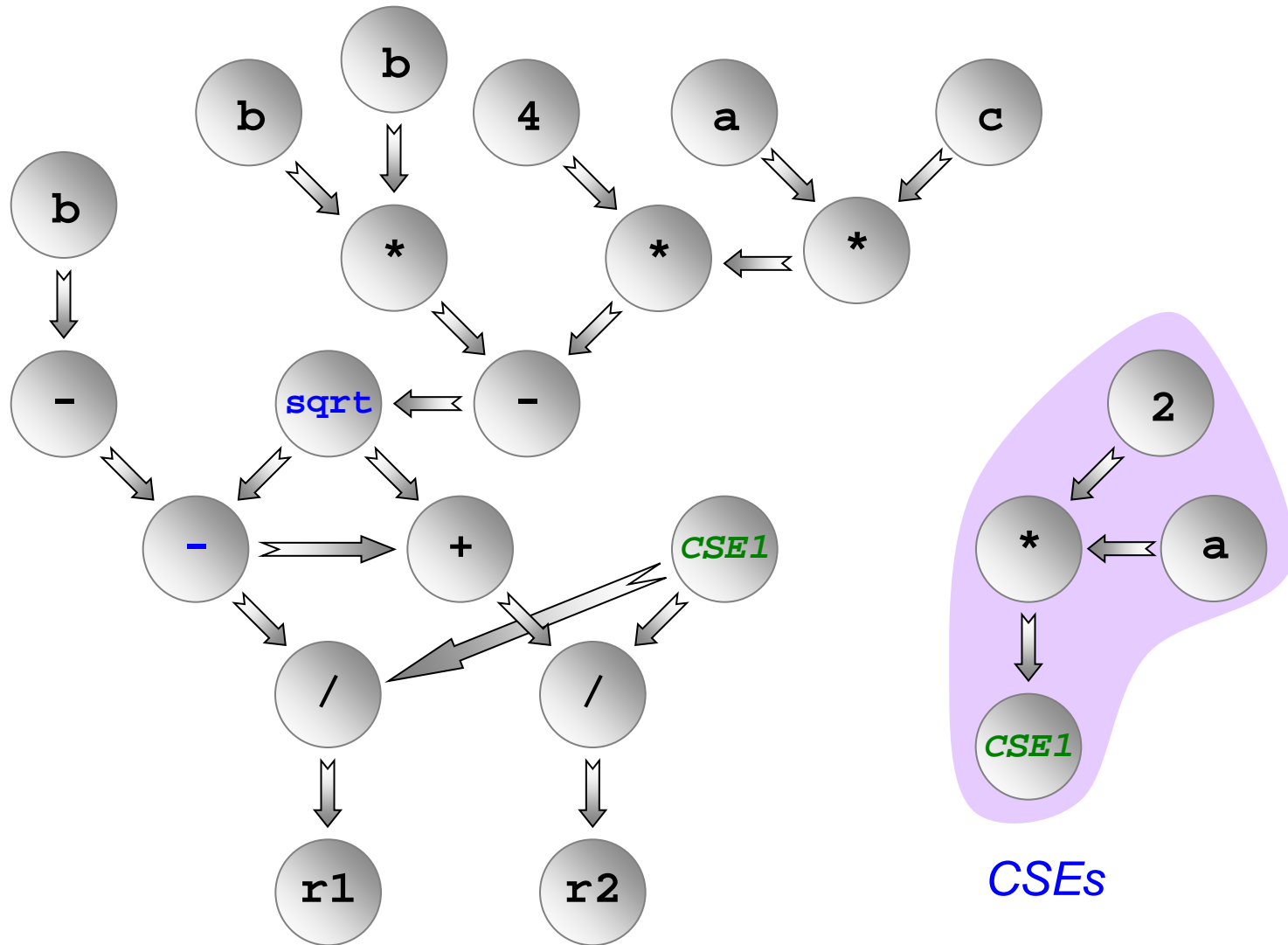
Definition (Datenflussbaum):

Ein Datenflussgraph $DFG = (V, E)$ ohne CSEs heißt *Datenflussbaum (Data Flow Tree, DFT)*.

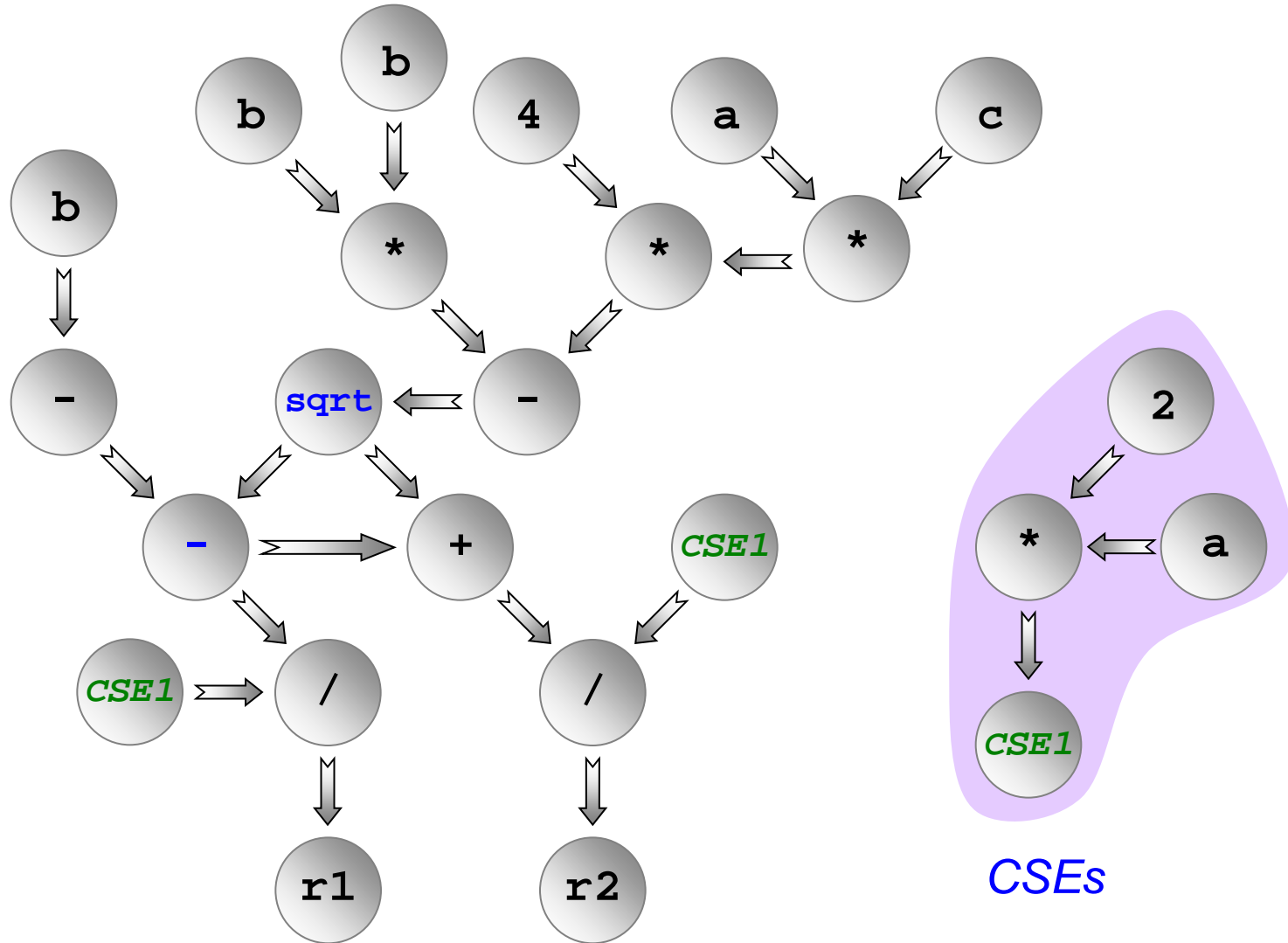
☞ DFG-Zerlegung

- Aufspaltung des DFGs in DFTs entlang der CSEs
- Für jede CSE: Hilfsknoten in resultierenden Bäumen einfügen

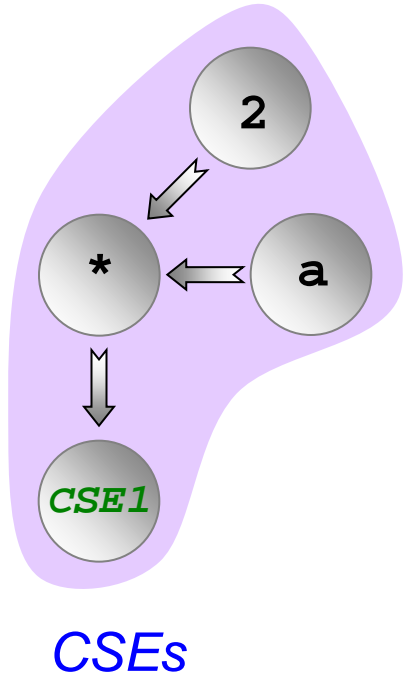
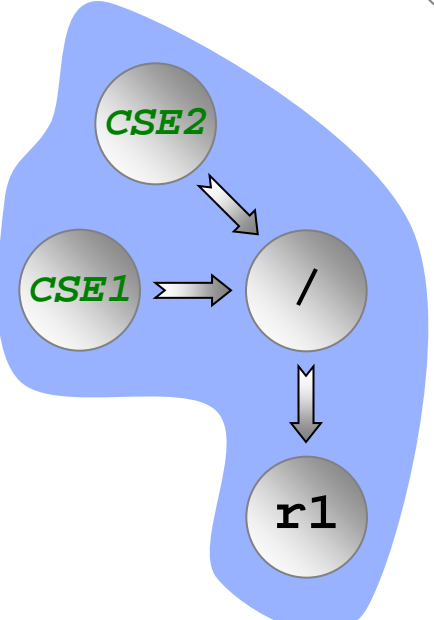
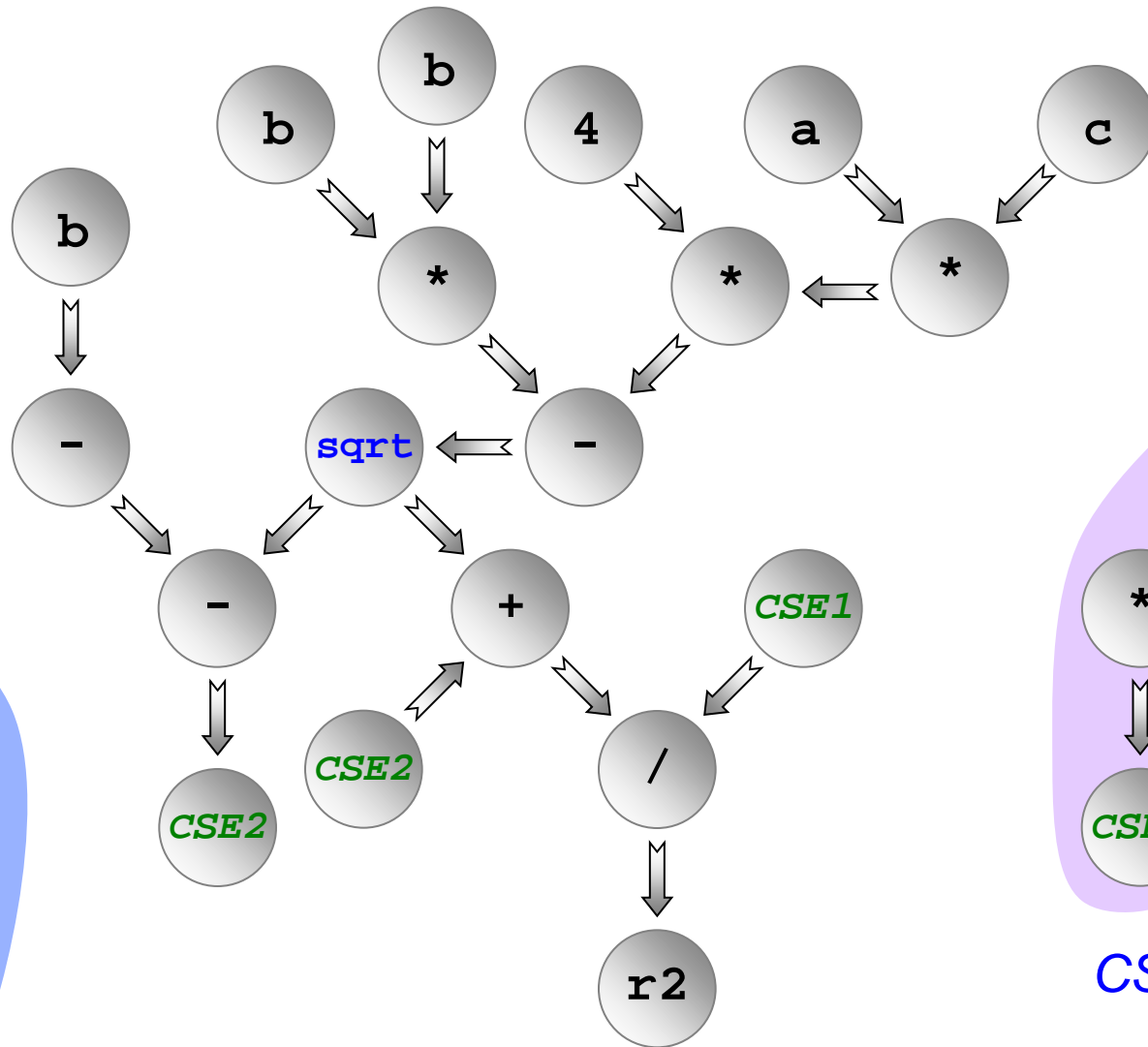
Beispiel-DFG (2)



Beispiel-DFG (3)

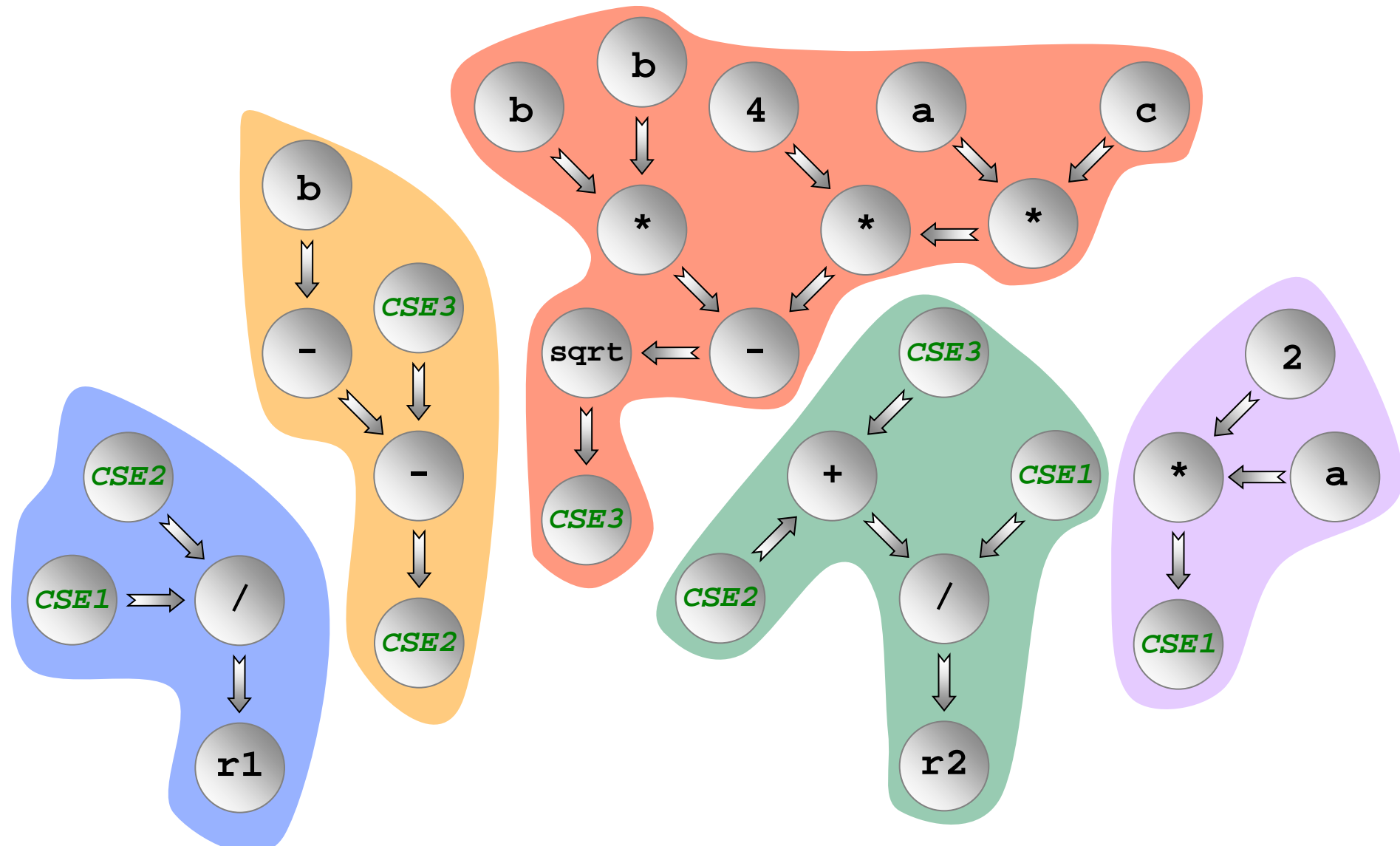


Beispiel-DFG (4)



CSEs

Beispiel-DFG (5)



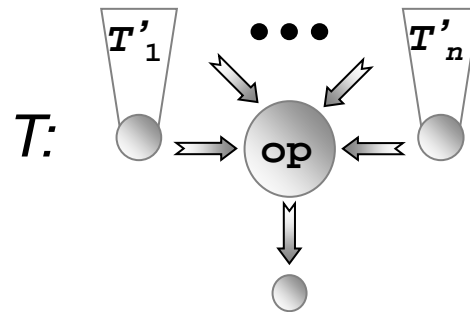
Baum-Überdeckung (*Tree Cover*)

Definition (Baum-Überdeckung durch Operationsfolge):

Sei $T = (V, E)$ ein DFT, $S = (o_1, \dots, o_N)$ eine Folge von Maschinenoperationen. Die letzte Operation o_N habe das Format $\mathbf{d} \leftarrow \mathbf{op}(\mathbf{s}_1, \dots, \mathbf{s}_n)$. S'_1, \dots, S'_n bezeichne die Teilfolgen von S , die jeweils die Operanden $\mathbf{s}_1, \dots, \mathbf{s}_n$ von o_N berechnen.

S überdeckt T genau dann, wenn

- Operator \mathbf{op} der Wurzel von T entspricht, T sich also wie folgt darstellen lässt:



- und wenn alle S'_i jeweils T'_i überdecken ($1 \leq i \leq n$).

Beispiele für Überdeckungen

TriCore-Befehlssatz:

```

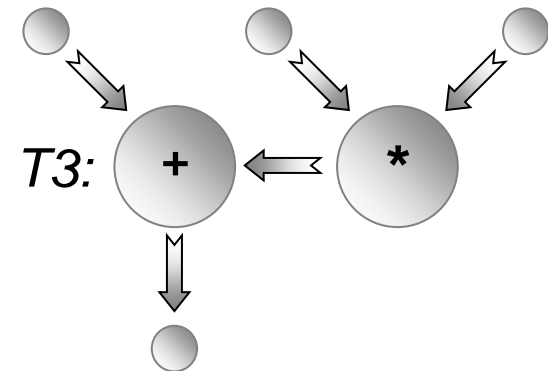
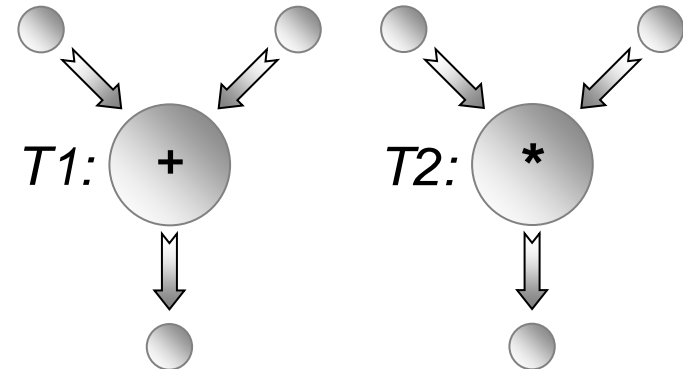
add   Dc, Da, Db      (Dc = Da + Db)
mul   Dc, Da, Db      (Dc = Da * Db)
madd  Dc, Dd, Da, Db  (Dc = Dd + Da * Db)
    
```

- ☞ Operation `add %d4, %d8, %d9` überdeckt *T1*
- ☞ Operation `mul %d10, %d11, %d12` überdeckt *T2*

- ☞ Auch klar: Operationsfolge
`mul %d10, %d11, %d12`
`add %d4, %d8, %d10` überdeckt *T3*

- ☞ Zusätzlich: Einelementige Folge
`madd %d4, %d8, %d11, %d12` überdeckt *T3* auch.

Datenflussbäume:



Tree Pattern Matching Algorithmus (1)

Gegeben

- DFT $T = (V, E)$, Knoten $v_0 \in V$ sei Ausgang von T
- Menge O aller Maschinen-Operationen o im Befehlssatz des Ziel-Prozessors
- Kostenfunktion $c: O \rightarrow \mathbb{N}$ (z.B. Größe jeder Operation in Bytes)
- Anzahl $K \in \mathbb{N}$ aller Register des Ziel-Prozessors

Datenstrukturen

- Feld $C[j][v]$: Enthält für jeden Knoten $v \in V$ die minimalen Kosten gemäß Kostenfunktion c , wenn zur Berechnung des Teilbaums von T mit Wurzel v insgesamt j Register zur Verfügung stehen.
- Feld $M[j][v]$: Enthält für jeden Knoten $v \in V$ die kostenoptimale Maschinen-Operation aus O und optimale Operanden-Reihenfolge, wenn insges. j Register zur Verfügung stehen.

Tree Pattern Matching Algorithmus (2)

Ablauf – TPM(*DFT* T):

- initialize(T);
- computeCosts(T);
- generateCode(T, K);

Phase 1 – initialize(*DFT* T):

- Für alle verfügbaren Register $1 \leq j \leq K$ und für alle Knoten $v \in V$:

$$C[j][v] = \begin{cases} 0 & \text{falls } v \text{ Eingang von } T \\ \infty & \text{sonst} \end{cases}$$

- Für alle verfügbaren Register $1 \leq j \leq K$ und für alle Knoten $v \in V$:

$$M[j][v] = (\emptyset, \emptyset)$$

Tree Pattern Matching Algorithmus (3)

Phase 2 – computeCosts(*DFT* *T*):

- Für alle Knoten $v \in V$ in Postorder-Folge, ausgehend von Wurzel v_0 :
 - Sei T' der Teilbaum von T mit aktuellem Knoten v als Wurzel
 - Für alle Operationen $o \in O$, die v überdecken:
 - Zerlege T' anhand von o in Teilbäume T'_1, \dots, T'_n mit jeweiligen Wurzeln v'_1, \dots, v'_n gemäß *Tree Cover*-Definition (☞ [Folie 20](#))
 - Für alle $1 \leq j \leq K$ und alle Permutationen π über $(1, \dots, n)$:
 - Berechne minimale Kosten für Knoten v :

$$C[j][v] = \min(C[j][v], \sum_{i=1}^n C[j - i + 1][v'_{\pi(i)}] + c(o))$$

$M[j][v] = \text{Paar } (o, \pi), \text{ das zu minimalem } C[j][v] \text{ führt}$

Tree Pattern Matching Algorithmus (4)

Phase 3 – `generateCode(DFT T, int j)`:

- Sei $v \in V$ Wurzel von T
- Operation o = erstes Element von $M[j][v]$
- Permutation π = zweites Element von $M[j][v]$
- Zerlege T anhand von o in Teilbäume T_1, \dots, T_n gemäß *Tree Cover-Definition*
- Für alle $i = 1, \dots, n$: `generateCode($T_{\pi(i)}$, $j - i + 1$)`
- Generiere Maschinencode für Operation o

[A. Aho, S. Johnson, *Optimal Code Generation for Expression Trees*, *Journal of the ACM* 23(3), Jul 1976]

Bemerkungen (1)

- *Postorder-Durchlauf*: Für die Wurzel v von T besuche erst die Kinder v_1, \dots, v_n in Postorder-Folge, dann besuche v .
- *Permutation π* : Für den aktuellen Knoten v und Teilbäume T'_1, \dots, T'_n mit Wurzeln v'_1, \dots, v'_n beschreibt eine Permutation π eine mögliche Reihenfolge, in der die Teilbäume ausgewertet werden können. $\pi = (2, 3, 1)$ besagt bspw., dass zuerst Teilbaum 2 auszuwerten ist, dann Teilbaum 3, dann Teilbaum 1.
- **computeCosts** berechnet für jeden Knoten v die minimalen Kosten, unter Berücksichtigung aller möglichen Auswertungsreihenfolgen der Kinder von v (d.h. alle Permutationen π) und aller möglichen Anzahlen freier Register (d.h. alle Werte $j \in [1, K]$).

Bemerkungen (2)

- TPM-Algorithmus betrachtet für jeden Baum T stets, wie viele der K Register des Prozessors noch frei sind, d.h. es werden keine virtuellen Register verwendet.
- Dementsprechend werden die Kosten in Abhängigkeit von der Anzahl j verfügbarer Register berechnet.
- Für die Knoten v'_1, \dots, v'_n und einen festen Wert j variieren die Kosten allerdings, und zwar abhängig von der Permutation π !

Bemerkungen (3)

Beispiel: Zur Auswertung des aktuellen Knotens v habe man $j = 3$ Register zur Verfügung. Um Teilbaum T_1 auszuwerten, brauche man 2 freie Register, für T_2 jedoch 3.

- $\pi = (1, 2)$: Wird erst T_1 ausgewertet, werden zwischenzeitlich 2 Register benutzt, das Ergebnis von T_1 liegt danach dauerhaft in einem der 3 verfügbaren Register. Für T_2 stehen somit nur noch 2 Register bereit. Da T_2 aber 3 Register braucht, sind zur Auswertung von T_2 zusätzliche Speicher-Instruktionen zu generieren, die zu höheren Kosten führen.
- $\pi = (2, 1)$: T_2 belegt während der Auswertung alle 3 verfügbaren Register, das Ergebnis von T_2 liegt danach dauerhaft in einem der 3 verfügbaren Register. Für T_1 stehen somit nur noch 2 Register bereit. Da T_1 aber nur 2 Register zur Auswertung braucht, fallen keine zusätzlichen Instruktionen an.

Lautzeit-Komplexität von TPM

Annahme

- Befehlssatz eines Prozessors sei fest vorgegeben
- Größe der Menge O von Maschinen-Operationen konstant
- Anzahl der Permutationen π ebenfalls konstant, da die Anzahl von Operanden pro Operation im Befehlssatz konstant ist (typischerweise 2 bis 3 Operanden pro Operation)

Kostenberechnung

- Da Schleifen über alle überdeckenden Maschinen-Operationen $o \in O$ und über alle Permutationen π nur einen konstanten Faktor beisteuern:
- Lineare Komplexität in Größe von T : $O(|V|)$

Code-Generierung

- Offensichtlich auch lineare Komplexität in Größe von T : $O(|V|)$

Verbleibende Offene Fragen

Präsentierter TPM-Algorithmus generisch formuliert.

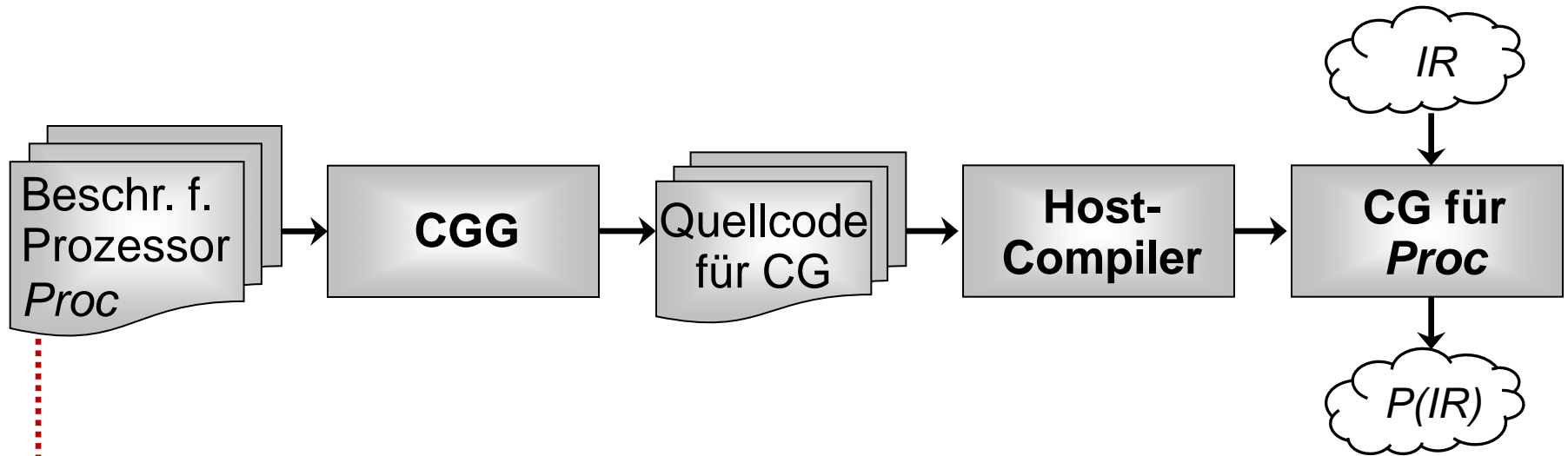
☞ ***Wie wird dieser Algorithmus für einen konkreten Prozessor adaptiert?***

Zu klärende Detailfragen

- Wie ist die Entsprechung einer Maschinen-Operation o_p mit der Wurzel von T realisiert (vgl. *Tree Cover-Definition*)?
- In welcher Form erhält der TPM-Algorithmus die Menge O aller generierbarer Maschinen-Operationen und die Kostenfunktion c ?
- Wie handhabt TPM die Speicherung der optimalen Maschinen-Operation o in M , und die konkrete Code-Generierung für o ?

Im Folgenden: Annahme unendlich vieler virtueller Register

Prozessor-Beschreibung per Baum-Grammatik



- Grammatik G , die für Teilbäume eines DFTs Maschinen-Operationen generiert
- Jede einzelne Regel von G realisiert eine mögliche Überdeckung für einen DFT-Knoten
- Durch Anwendung von Regeln wird also Code abgeleitet
- Jede einzelne Ableitung/Regel verursacht Kosten

Aufbau der Baum-Grammatik (1)

Gemäß Code-Generator-Generator *icd-cg*:

- Baum-Grammatik G besteht aus Regeln R_1, \dots, R_r
- Jede Regel R_i hat eine Signatur, bestehend aus Terminal- und Nichtterminal-Symbolen:

$$\langle \text{nonterminal}_{i,0} \rangle : \langle \text{terminal}_{i,1} \rangle (\langle \text{nonterminal}_{i,2} \rangle, \dots, \langle \text{nonterminal}_{i,n} \rangle)$$

(Angabe von Nichtterminalen in (...) optional)

(Sog. Kettenregeln $\langle \text{nonterminal}_{i,0} \rangle : \langle \text{nonterminal}_{i,1} \rangle$ auch legal)

- *Terminale*: mögliche Knoten im DFT T
(z.B. `tpm_BinaryExpPLUS`, `tpm_BinaryExpMULT`, ... in ICD-C)
- *Nichtterminale*: i.d.R. prozessor-spezifische Speicherklassen, wo Quell- & Ziel-Operanden von Operationen abgelegt sein können
(z.B. *Daten- & Adressregister, Immediate-Konstanten, ...*)

Aufbau der Baum-Grammatik (2)

Beispiel (anhand von ICD-C & TriCore 1.3)

- Regel

`dreg: tpm_BinaryExpPLUS(dreg, dreg)`

zuständig für Überdeckung des binären Operators + aus ANSI-C, mit beiden Summanden in Datenregistern und Summe in einem Datenregister.

- Regel

`dreg: tpm_BinaryExpMULT (dreg, const9)`

zuständig für die Überdeckung des binären Operators * aus ANSI-C, mit erstem Faktor in Datenregister, zweitem als vorzeichenbehaftetem 9-Bit *Immediate*-Wert, und Produkt in einem Datenregister.

Aufbau der Baum-Grammatik (4)

Gemäß Code-Generator-Generator *icd-cg*: (fortges.)

- Die Spezifikation jeder Regel R_i in der Baum-Grammatik besteht aus Signatur, *Cost*-Teil und *Action*-Teil:

```

<nonterminali,0> : <terminali,1> ( <nonterminali,2> , ... ,
                                     <nonterminali,n> )
{
    // Code zur Kosten-Berechnung
}
=
{
    // Code für Action-Teil
};

```

Aufbau der Baum-Grammatik (5)

Gemäß Code-Generator-Generator *icd-cg*: (fortges.)

- *Cost*-Teil von R_i weist **nonterminal** _{$i,0$} Kosten zu, die entstehen, wenn R_i zur Überdeckung von **terminal** _{$i,1$} benutzt wird.
- *Cost*-Teil kann beliebigen benutzerdefinierten C/C++-Code zur Kostenberechnung enthalten.
- Kosten können z.B. Anzahl erzeugter Maschinen-Operationen, Codegröße, ..., repräsentieren.
- Kosten von R_i können explizit auf ∞ gesetzt werden, wenn R_i in speziellen Situationen keinesfalls zur Baum-Überdeckung verwendet werden soll.
- C/C++-Datentyp für Kosten, Kleiner-Als-Vergleich von Kosten, und Null- bzw. Unendlich-Kosten sind in Präambel von G zu deklarieren.

Aufbau der Baum-Grammatik (6)

Beispiel (anhand von ICD-C & TriCore 1.3)

```
// Präambel
typedef int COST;
#define DEFAULT_COST 0;
#define COST_LESS(x, y) ( x < y )
COST COST_INFINITY = INT_MAX;
COST COST_ZERO = 0;
...
```

- Deklaration eines simplen Kostenmaßes – identisch mit Typ `int`
- Vergleich von Kosten mit `<` Operator auf Typ `int`
- Default-, Null- und ∞ -Kosten auf 0 bzw. maximalen `int`-Wert gesetzt

Aufbau der Baum-Grammatik (7)

Beispiel (anhand von ICD-C & TriCore 1.3)

```
dreg: tpm_BinaryExpPLUS( dreg, dreg )
{
    $cost[0] = $cost[2] + $cost[3] + 1;
} = {};
```

- Verwendung des feststehenden Schlüsselwortes `$cost[j]` zum Zugriff auf Kosten von `nonterminali,j`
- Kosten für binäres `+` mit Summanden in Datenregistern (`$cost[0]`) gleich Kosten für ersten Operanden (`$cost[2]`) plus Kosten für zweiten Operanden (`$cost[3]`) plus eine weitere Operation (`ADD`)

Aufbau der Baum-Grammatik (8)

Gemäß Code-Generator-Generator *icd-cg*: (fortges.)

- *Action*-Teil von R_i wird ausgeführt, wenn R_i die Regel mit minimalen Kosten zur Überdeckung von `terminali,1` ist.
- *Action*-Teil kann beliebigen benutzerdefinierten C/C++-Code zur Code-Generierung enthalten.
- Verwendung des feststehenden Schlüsselwortes `$action[j]` zum Ausführen der *Action*-Teile für Operanden `nonterminali,j`
- Nichtterminal-Symbole können mit Parametern und Rückgabewerten in G deklariert werden, um Werte zwischen *Action*-Teilen von Regeln auszutauschen.

Aufbau der Baum-Grammatik (9)

Beispiel (anhand von ICD-C & TriCore 1.3)

```
dreg: tpm_BinaryExpPLUS( dreg, dreg ) {}={
    if (target.empty()) target = getNewRegister();
    string r1($action[2]()), r2($action[3]());
    cout << "ADD " << target << ", " << r1
         << ", " << r2 << endl;
    return target;
};
```

- Zuerst Bestimmung des Registers für Ziel-Operanden
- Danach Aufruf der Code-Generierung für beide Operanden durch `$action[2]()` und `$action[3]()`
- Zuletzt Code-Generierung für die Addition selbst

Aufbau der Baum-Grammatik (10)

Beispiel (anhand von *ICD-C & TriCore 1.3*)

```
dreg: tpm_BinaryExpPLUS( dreg, dreg ) {}={
    if (target.empty()) target = getNewRegister();
    string r1($action[2]()), r2($action[3]());
    cout << "ADD " << target << ", " << r1
         << ", " << r2 << endl;
    return target;
};
```

- Um Code für **ADD** zu generieren, muss obige Regel wissen, in welchen Datenregistern die beiden Summanden letztlich liegen.
- Der Code für die Summanden wird aber durch komplett andere Regeln der Grammatik erzeugt.

Aufbau der Baum-Grammatik (11)

Beispiel (anhand von ICD-C & TriCore 1.3)

```
dreg: tpm_BinaryExpPLUS( dreg, dreg ) {}={
    if (target.empty()) target = getNewRegister();
    string r1($action[2]()), r2($action[3]());
    cout << "ADD " << target << ", " << r1
         << ", " << r2 << endl;
    return target;
};
```

- Die *Action*-Teile der Summanden geben nach ihrem jeweiligen Aufruf `$action[2]()` und `$action[3]()` das betreffende Register als Ergebnis zurück.

Aufbau der Baum-Grammatik (12)

Beispiel (anhand von ICD-C & TriCore 1.3)

```
%declare<string> dreg<string target>;
```

- Deklaration eines Nichtterminals für virtuelle Datenregister
- Ein `string` kann in Parameter `target` übergeben werden, um einem *Action*-Teil vorzugeben, in welchem Datenregister dieser seinen Ziel-Operanden abzulegen hat.
- Ein *Action*-Teil kann einen `string` zurückliefern, der das Datenregister bezeichnet, in dem dieser seinen Ziel-Operanden abgelegt hat.

Aufbau der Baum-Grammatik (13)

Beispiel (anhand von ICD-C & TriCore 1.3)

```
dreg: tpm_BinaryExpPLUS( dreg, dreg ) {}={
    if (target.empty()) target = getNewRegister();
    $action[2]("D15");
    string r2($action[3]());
    cout << "ADD " << target << ", D15, " << r2 << endl;
    return target;
};
```

- Obige Regel generiert eine Spezialform der TriCore-Addition, wo der erste Summand zwingend in Datenregister D15 liegen muss.

Baum-Überdeckung und Baum-Grammatik

Baum-Überdeckung

Eine Regel R_i aus G mit Signatur

$$\langle \text{nonterminal}_{i,0} \rangle : \langle \text{terminal}_{i,1} \rangle (\langle \text{nonterminal}_{i,2} \rangle, \dots, \langle \text{nonterminal}_{i,n} \rangle)$$

überdeckt einen DFT T genau dann, wenn

- es Regeln in G gibt, die jeweils Teil-Baum T_j überdecken und jeweils ein Nichtterminal-Symbol der Klasse $\langle \text{nonterminal}_{i,j} \rangle$ erzeugen ($2 \leq j \leq n$),
und
- die Kosten von R_i kleiner als ∞ sind.

TPM-Algorithmus mit Baum-Grammatik

Phase 1 – Initialisierung: Unverändert

Phase 2 – Kostenberechnung:

- Anstatt alle Operationen $o \in O$ zu bestimmen, die Teilbäume T' überdecken:
- ☞ Bestimme Menge R' aller Regeln $R_i \in G$, die T' überdecken
- ☞ Berechne $C[v]$ wie ursprünglich, lediglich unter Ausführung des Codes der *Cost*-Teile aller Regeln aus R'
- ☞ Speichere in $M[v]$ die Regel $R^{opt} \in R'$ mit minimalem $C[v]$

Phase 3 – Code-Generierung:

- Für Wurzel $v_0 \in T$: Rufe *Action*-Teil der optimalen Regel $M[v_0]$ auf
- In *Action*-Teile eingebettete `$action[]`-Aufrufe beziehen sich stets auf die *Action*-Teile der jeweils kostenoptimalen Regel R^{opt}

Komplexeres Beispiel (1)

```
dreg: tpm_BinaryExpPLUS( dreg, dreg ) {
    $cost[0] = $cost[2] + $cost[3] + 1;
}={
    if ( target.empty() ) target = getNewRegister();
    string r1( $action[2]("") ), r2( $action[3]("") );
    cout << "ADD " << target << ", " << r1 << ", " << r2 <<
    endl; return target;
};
```

```
dreg: tpm_BinaryExpMULT( dreg, dreg ) {
    $cost[0] = $cost[2] + $cost[3] + 1;
}={
    if ( target.empty() ) target = getNewRegister();
    string r1( $action[2]("") ), r2( $action[3]("") );
    cout << "MUL " << target << ", " << r1 << ", " << r2 <<
    endl; return target;
};
```

Komplexeres Beispiel (2)

```

dreg: tpm_SymbolEXP {
    $cost[0] = $1->getExp()->getSymbol().isGlobal() ?
        COST_INFINITY : COST_ZERO;
}= {
    target = "r_" + $1->getExp()->getSymbol().getName();
    return target;
};

```

- Regel weist lokalen Variablen im DFT T ein virtuelles Register zu
- $\$1$ ist der durch Terminal-Symbol zu überdeckende Knoten von T
- $\$1->getExp()->getSymbol()$ liefert das Symbol / die Variable der IR
- Im Fall globaler Variablen liefert diese Regel Kosten ∞ zurück
- Für lokale Variablen: Kosten 0, da kein aktiver Code erzeugt wird

Komplexeres Beispiel (3)

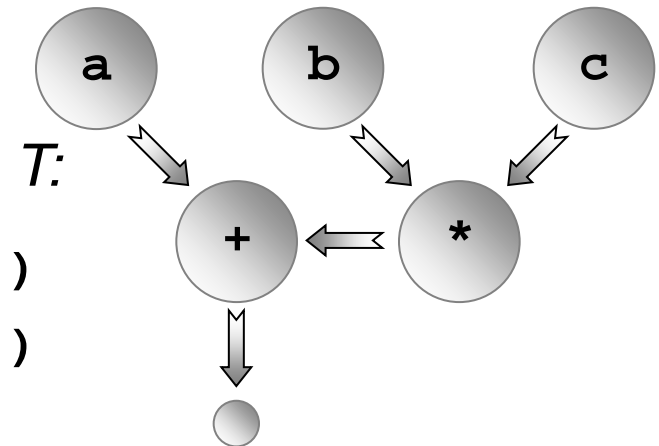
- C-Fragment `a + (b * c)` mit DFT T wird durch Regeln

dreg: `tpm_SymbolExp`

dreg: `tpm_BinaryExpPLUS(dreg, dreg)`

dreg: `tpm_BinaryExpMULT(dreg, dreg)`

überdeckt.



- Kosten für T :

$$C[+] = C[a] + C[*] + 1 = C[a] + (C[b] + C[c] + 1) + 1 = 2$$

- Generierter Code für T :

```
MUL r_0, r_b, r_c
```

```
ADD r_1, r_a, r_0
```

Komplexeres Beispiel (4)

```
typedef pair<string, string> regpair;
%declare<regpair> virtmul;
```

```
virtmul: tpm_BinaryExpMULT( dreg, dreg ) {
    $cost[0] = $cost[2] + $cost[3];
}={
    string r1( $action[2]("") ), r2( $action[3]("") );
    return make_pair( r1, r2 );
};
```

- Neues Nichtterminal `virtmul` repräsentiert Multiplikation in T , für die aber nicht direkt Code generiert werden soll.
- Statt Code-Generierung wird ein Register-Paar zurückgegeben, das speichert, wo die Operanden der Multiplikation liegen.
- Mangels Code-Generierung: $C[v] = \text{Summe der Operanden-Kosten}$

Komplexeres Beispiel (5)

```
dreg: tpm_BinaryExpPLUS( dreg, virtmul ) {
    $cost[0] = $cost[2] + $cost[3] + 1;
}= {
    if ( target.empty() ) target = getNewRegister();
    string r1( $action[2]("") );
    regpair rp( $action[3]() );
    cout << "MADD " << target << "," << r1 << ", "
        << rp.first << "," << rp.second << endl;
    return target;
};
```

- Regel aktiv, falls zweiter Summand eine virtuelle Multiplikation ist
- Dann: Register-Paar des Nichtterminals `virtmul` anfordern, eine *Multiply-Accumulate*-Operation `MADD` (☞ siehe Kapitel 2) generieren

Komplexeres Beispiel (6)

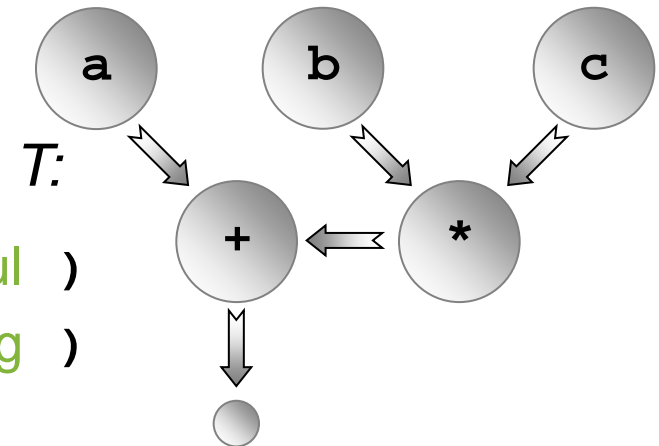
- C-Fragment `a + (b * c)` mit DFT T wird nun zusätzlich durch Regeln

`dreg`: `tpm_SymbolExp`

`dreg`: `tpm_BinaryExpPLUS(dreg, virtmul)`

`virtmul`: `tpm_BinaryExpMULT(dreg, dreg)`

überdeckt.



- Kosten für T :

$$C[+] = C[a] + C[*] + 1 = C[a] + (C[b] + C[c]) + 1 = 1$$

- Generierter Code für T :

```
MADD r_0, r_a, r_b, r_c
```

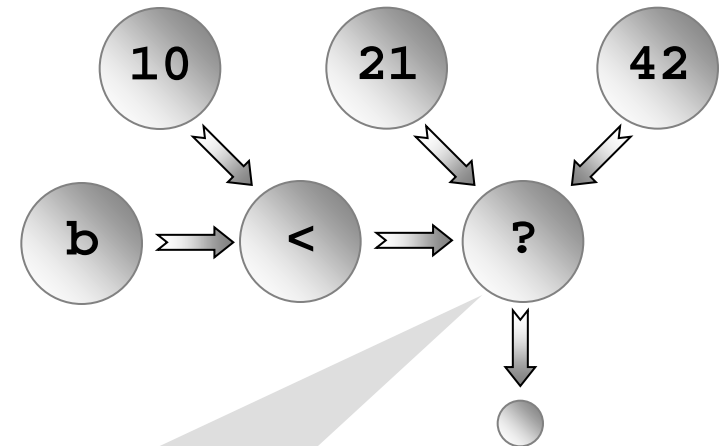
Aufruf von *Action*-Teilen mit Parametern

```
%declare<string> dreg<string target>;
```

- Ein `string` kann in Parameter `target` übergeben werden, um einem *Action*-Teil vorzugeben, in welchem Datenregister dieser seinen Ziel-Operanden abzulegen hat.

C-Fragment (`b < 10`) ? 21 : 42

- Das Ergebnis des ?-Operators muss in einem `dreg` liegen.
- ☞ Beide Teilbäume links und rechts von „:“ sind in das selbe `dreg` auszuwerten.
- ☞ Die Regel für ? muss beiden Teilbäumen das gleiche Zielregister vorgeben!



```
target = getNewRegister();
$action[3](target);
$action[4](target);
```

Inhalte des Kapitels

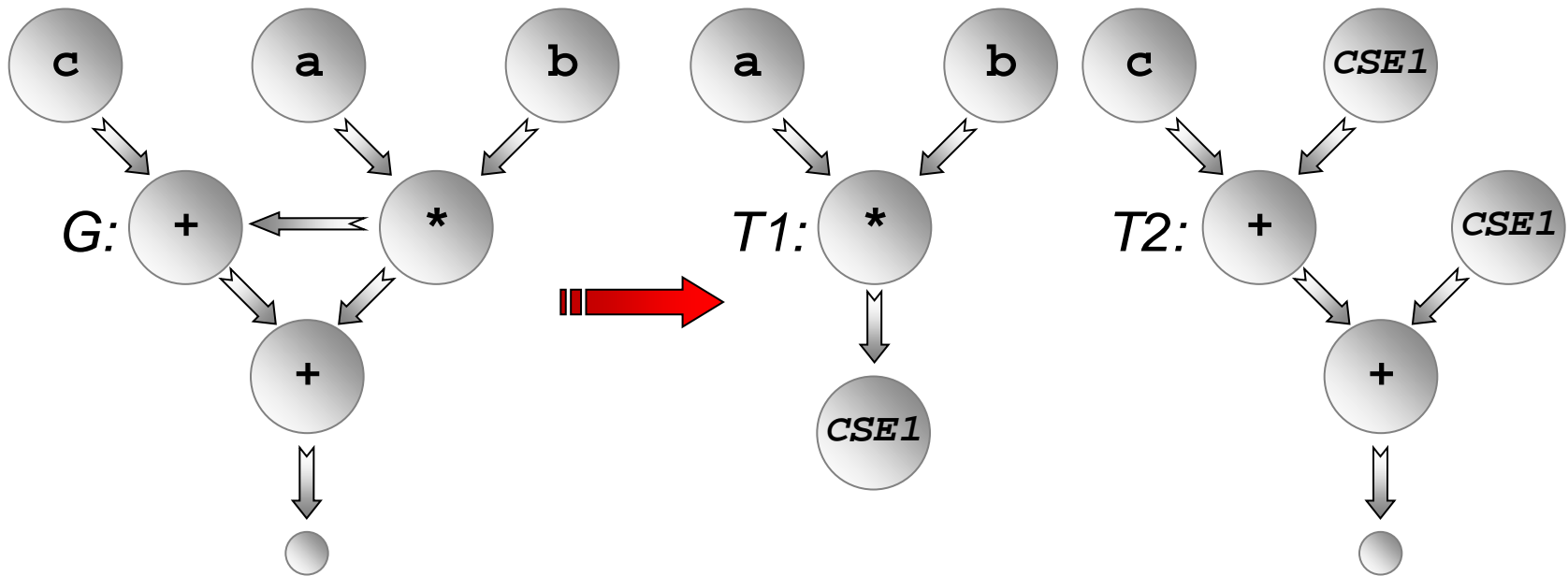
6. Instruktionsauswahl

- Einführung
 - Rolle der Instruktionsauswahl
 - Datenflussgraphen
 - Code-Generator-Generatoren
- Baum-Überdeckung mit Dynamischer Programmierung
 - Zerlegung von Datenflussgraphen in Datenflussbäume
 - Baum-Überdeckung
 - *Tree Pattern Matching* Algorithmus
 - Baum-Grammatiken zur regel-basierten Ableitung von Code
- Diskussion

Nachteile von *Tree Pattern Matching* (1)

Zerlegung von DFGs in DFTs führt zu sub-optimalem Code

- Beispiel $a + (b * c)$ aus vorigem Abschnitt wird durch TPM optimal auf ~~MADD~~-Operation abgebildet.
- Aber was passiert z.B. bei $e = a * b; \dots (c + e) + e \dots ?$



Nachteile von *Tree Pattern Matching* (2)

Optimale Baum-Überdeckung von $T1$ und $T2$

- Würde in insgesamt *drei* Maschinen-Operationen resultieren
- 1 Multiplikation zur Überdeckung von $T1$, 2 Additionen für $T2$

```
MUL r_0, r_a, r_b
```

```
ADD r_1, r_c, r_0
```

```
ADD r_2, r_1, r_0
```

Optimale Graph-Überdeckung von G

- Würde in insgesamt *zwei* Maschinen-Operationen resultieren
- 2 *Multiply-Additionen* für G

```
MADD r_0, r_c, r_a, r_b
```

```
MADD r_1, r_0, r_a, r_b
```


Diskussion von *Tree Pattern Matching*

Vorteil

- Lineare Laufzeit-Komplexität
- Optimalität für Datenflussbäume
- „Leichte“ Realisierung mit Hilfe von Baum-Grammatiken und Code-Generator-Generatoren

Nachteile

- TPM schlecht geeignet für Prozessoren mit sehr heterogenen Registersätzen
- TPM ungeeignet für Prozessoren mit Parallel-Verarbeitung

Tree Pattern Matching und Heterogene Registersätze

Zerlegung von DFGs in DFTs

- Sei T ein DFT, der eine CSE C berechnet; T' die DFTs, die C benutzen.
- Nach Überdeckung von T muss der für T generierte Code C irgendwo zwischenspeichern, und alle T' müssen C zur Benutzung aus dem Zwischenspeicher laden.
- Da T und T' völlig unabhängig voneinander überdeckt werden, kann während der Code-Generierung von T nicht berücksichtigt werden, wo die T' C optimalerweise erwarten.
- Wenn T C in einem Teil des heterogenen Registerfiles speichert, T' C aber in einem anderen Teil erwartet, sind zusätzliche Register-Transfers notwendig!

Tree Pattern Matching und Parallele Prozessoren

Additives Kostenmaß von Tree Pattern Matching

- Kosten eines DFTs T mit Wurzel v sind Summe der Kind-Kosten plus Kosten für v selbst.
- *Action*-Teil für T erzeugt i.d.R. eine Maschinen-Operation.
- *Erinnerung*: Parallele Prozessoren führen mehrere Maschinen-Operationen, die in einer Maschinen-Instruktion gebündelt sind, parallel aus.
- ☞ Additives TPM-Kostenmaß geht implizit davon aus, dass alle erzeugten Operationen rein sequentiell ausgeführt werden!
- ☞ Da TPM bei der Kostenberechnung nicht berücksichtigt, dass Operationen parallel zu Instruktionen gruppiert werden können, wird erzeugter Code schlechte parallele Performance haben!

Literatur

Tree Pattern Matching

- A. Aho, S. Johnson. *Optimal Code Generation for Expression Trees*. Journal of the ACM 23(3), 1976.
- A. Aho, M. Ganapathi, S. Tjiang. *Code Generation Using Tree Matching & Dynamic Programming*. ACM ToPLaS 11(4), 1989.

Code-Generator-Generatoren

- *ICD-CG code generator generator*,
<http://www.icd.de/es/icd-cg>, 2012
- *iburg. A Tree Parser Generator*,
<http://code.google.com/p/iburg>, 2012. inkl.
C. W. Fraser, D. R. Hanson, T. A. Proebsting. *Engineering a Simple, Efficient Code Generator Generator*. ACM Letters on Programming Languages and Systems 1(3), 1992.

Zusammenfassung

Instruktionsauswahl

- Umsetzung eines DFGs durch zu erzeugendes Programm
- Code-Generator-Generatoren

Tree Pattern Matching

- Zerlegung von DFGs in Datenfluss-Bäume
- Linearzeit-Algorithmus zur optimalen Überdeckung von DFTs
- Aufbau und Struktur von Baum-Grammatiken

Diskussion

- *Tree Pattern Matching* nur für reguläre Prozessoren gut
- Nachteilig für Architekturen mit heterogenen Registern
- Nachteilig für Prozessoren mit Parallel-Verarbeitung